# Термоупругие напряжения, действующие в системах скольжения при выращивании из расплава методом Степанова (EFG) ленточных кристаллов оксида галлия

© В.М. Крымов, Е.В. Галактионов, С.И. Бахолдин, С.В. Шапенков

Физико-технический институт им. А.Ф. Иоффе РАН, 194021 Санкт-Петербург, Россия

e-mail: V.Krymov@mail.ioffe.ru

Поступило в Редакцию 30 апреля 2025 г. В окончательной редакции 4 июня 2025 г. Принято к публикации 4 июня 2025 г.

Исследовано влияние анизотропии свойств кристалла оксида галлия на величину и распределение касательных напряжений, действующих в системах скольжения. Приведен алгоритм расчета касательных напряжений для кристаллов моноклинной сингонии. Найдены эквивалентные системы скольжения. Проведено сравнение распределений касательных термоупругих напряжений в различных системах скольжения для тонких кристаллических пластин оксида галлия, выращиваемых из расплава методом Степанова. Обнаружена корреляция расчетных касательных напряжений в ленте с ориентацией [010] (210) с экспериментальными данными по дислокационной структуре.

Ключевые слова: моноклинная сингония, матрица перехода, эквивалентные системы.

DOI: 10.61011/JTF.2025.12.61771.222-25

# Введение

Кристаллы  $\beta$ -фазы оксида галлия ( $\beta$ -Ga<sub>2</sub>O<sub>3</sub>), интенсивно исследуются в последнее время и имеют хорошие перспективы для широкого применения в микроэлектронике и электронике больших мощностей. Оксид галлия превосходит полупроводники третьего поколения шириной запрещенной зоны и величиной электрического пробоя, сочетающимися с радиационной стойкостью, превосходной сцинтилляционной способностью и прозрачностью в УФ-видимой области [1]. К настоящему времени уже появилось коммерческое производство японской компанией Tamura corp. кристаллов  $\beta$ -Ga<sub>2</sub>O<sub>3</sub>, выращиваемых из расплава в форме лент, и подложек на их основе. Однако для получения высококачественных бездефектных кристаллов необходима не только разработка различных процессов выращивания, но и изучение дефектов структуры и причин их образования. Таких исследований для кристаллов  $\beta$  —  $Ga_2O_3$  проведено крайне мало.

В ряде работ [2–6] исследовалась дефектная структура пластин, ориентированных параллельно плоскостям (010) и ( $\bar{2}01$ ), методами рентгеновской топографии, селективного травления и просвечивающей электронной микроскопии. Nakai et al. [2] первыми нашли в поперечном сечении пластин (010) два типа дефектов: b-винтовые дислокации, образующие субзерновые границы, параллельные плоскостям ( $\bar{2}01$ ), (010), и полые нанотрубки, вытянутые вдоль [010]. Yamaguchi et al. [3] провели анализ кристаллической структуры  $\beta$ —Ga<sub>2</sub>O<sub>3</sub> на основе известного принципа, что основные плоскости и направления скольжения коррелируют с плотноупакованными плоскостями и кратчайшими векторами

трансляции соответственно. Были определены четыре плоскости скольжения:  $\{\bar{2}01\}$ ,  $\{101\}$ ,  $\{\bar{3}10\}$ ,  $\{\bar{3}\bar{1}0\}$  и направления кратчайших трансляций в них (таблица, пункты 1.1-4.3). Методом рентгеновской топографии с помощью критерия невидимости строго установлено существование дислокаций системы  $\{\bar{2}01\}$ , а для других продемонстрированы ряды дислокаций, которые могут им соответствовать. Ueda et al. [4] обнаружили методом просвечивающей электронной микроскопии ряды краевых дислокаций с вектором Бюргерса вдоль (010), соответствующие ямкам травления на поверхности параллельной (201), полые нанопластины, перпендикулярные плоскости (010), а также двойниковые пластины (100). Yao et al. [5] в подложке с ориентацией (010) с помощью синхротронной рентгеновской дифракции (XRD) и рентгеновской топографии (XRT) также обнаружили дислокации, принадлежащие еще трем системам скольжения  $\langle 010 \rangle \{001\}$ ,  $\langle 201 \rangle \{10\overline{2}\}$  и  $\langle 001 \rangle \{100\}$  (см. таблицу,  $\pi\pi$ . 5-7). В недавнем обзоре [6] была собрана информация по всем известным системам скольжения, но приведены только индексы одной из ряда кристаллографически эквивалентных систем.

Однако в описанных выше работах не рассмотрены причины и механизмы образования дефектов в процессе роста. Между тем исследования [7], проведенные при выращивании других кристаллов из расплава методом Степанова (EFG), показали, что одной из основных причин образования дефектов является пластическая деформация под действием термических напряжений в системах скольжения. Для кристаллов  $\beta$ —Ga<sub>2</sub>O<sub>3</sub> цилиндрической и ленточной форм в работах [8,9] были рассчитаны термоупругие напряжения с учетом анизотро-

N₂	Плоскость скольжения	Направление скольжения	Эквивалентные системы
1.1	{201}	⟨010⟩	$(\bar{2}01) [010], (\bar{2}01) [0\bar{1}0], (20\bar{1}) [010], (20\bar{1}) [0\bar{1}0]$
1.2	{201}	⟨112⟩	$(\bar{2}01)[112], (\bar{2}01)[1\bar{1}2], (20\bar{1})[\bar{1}1\bar{2}], (20\bar{1})[\bar{1}1\bar{2}]$
2.1	{101}	$\langle 010 \rangle$	$(101)  [010],  (101)  [0\bar{1}0],  (\bar{1}0\bar{1})  [010],  (\bar{1}0\bar{1})  [0\bar{1}0]$
2.2	{101}	$\langle 10\bar{1} \rangle$	(101) [101], (101) [101]
3.1	{310}	⟨001⟩	$(\bar{3}\bar{1}0)[001], (\bar{3}10)[001], (3\bar{1}0)[00\bar{1}], (310)[00\bar{1}]$
3.2	{310}	$\langle 1\bar{3}0 \rangle$	$(\bar{3}\bar{1}0)[1\bar{3}0], (\bar{3}10)[130], (3\bar{1}0)[\bar{1}\bar{3}0], (310)[\bar{1}30]$
3.3	{310}	$\langle 1\bar{3}2 \rangle$	$(\bar{3}\bar{1}0)[1\bar{3}2], (\bar{3}10)[132], (3\bar{1}0)[\bar{1}\bar{3}\bar{2}], (310)[\bar{1}3\bar{2}]$
4.1	{310}	⟨001⟩	$(\bar{3}10)[001], (\bar{3}\bar{1}0)[00\bar{1}], (3\bar{1}0)[001], (310)[00\bar{1}]$
4.2	{310}	⟨130⟩	$(\bar{3}10)[130], (\bar{3}\bar{1}0)[1\bar{3}0], (310)[\bar{1}30], (3\bar{1}0)[\bar{1}\bar{3}0]$
4.3	{310}	⟨132⟩	$(\bar{3}10)[132], (\bar{3}\bar{1}0)[1\bar{3}2], (310)[\bar{1}3\bar{2}], (3\bar{1}0)[\bar{1}\bar{3}\bar{2}]$
5	{001}	$\langle 0\bar{1}0 \rangle$	$(001)  [0\bar{1}0],  (001)  [010],  (00\bar{1})  [0\bar{1}0],  (00\bar{1})  [010]$
6	$\{10\bar{2}\}$	⟨201⟩	(102) [201], (102) [201]
7	{100}	⟨001⟩	(100) [001], (100) [001]

Возможные системы скольжения кристаллов  $\beta$  –  $Ga_2O_3$ 

пии коэффициентов упругости и теплового расширения, но без учета систем скольжения.

В настоящей работе проведен расчет термоупругих касательных напряжений в системах скольжения кристаллов  $\beta$ — $Ga_2O_3$ , выращиваемых в форме лент в направлении [010], по предложенному алгоритму с учетом эквивалентных систем. Исследована их ориентационная зависимость во всех действующих системах скольжения при повороте нормали к плоскости ленты от исходного положения (100) на 360° вокруг направления выращивания [010]

# 1. Алгоритм расчета касательных напряжений в системах скольжения для ленточных кристаллов моноклинной сингонии

Пусть в кристаллографической системе координат выбрана система скольжения  $\{n_1, n_2, n_3\}\langle l_1, l_2, l_3\rangle$ . Здесь  $n_1, n_2, n_3$  — кристаллографические индексы плоскости скольжения, соответствующие индексам нормали к ней в обратной решетке, а  $l_1, l_2, l_3$  — индексы направления скольжения, заданные в прямой решетке. Заметим, что для кристаллов моноклинной сингонии, к которой относится оксид галлия, кристаллографическая система координат не является декартовой. Обозначим вектор перпендикулярный плоскости скольжения  $\mathbf{n} = (n_1, n_2, n_3)^T$ , а вектор направления скольжения —  $\mathbf{l} = (l_1, l_2, l_3)^T$ . Далее в кристаллофизической системе координат компоненты этих векторов обозначим как  $\mathbf{N} = (N_1, N_2, N_3)^T$  и  $\mathbf{L} = (L_1, L_2, L_3)^T$ , соответственно, и выразим через

кристаллографические координаты согласно [10,11]:

$$\mathbf{N} = \frac{E\mathbf{n}}{H^*(n_1, n_2, n_3)}, \quad \mathbf{L} = \frac{(A)^T \mathbf{l}}{R(l_1, l_2, l_3)},$$

где E — матрица разложения ортов кристаллофизической системы координат по базисным векторам кристаллической решетки:

$$E = \begin{pmatrix} a^* & 0 & -c^* \cos \beta \\ 0 & b^* & 0 \\ 0 & 0 & c^* \sin \beta \end{pmatrix};$$

A — матрица разложения векторного базиса кристаллической решетки по ортам кристаллофизической системы координат:

$$A = \begin{pmatrix} a\sin\beta & 0 & a\cos\beta \\ 0 & b & 0 \\ 0 & 0 & c \end{pmatrix};$$

 $H^*$  — длина вектора **n** в обратной решетке для кристаллов моноклинной сингонии:

$$H^*(n_1, n_2, n_3) = (n_1^2(a^*)^2 + n_2^2(b^*)^2 + n_3^2(c^*)^2 + 2n_1n_3a^*c^*\cos(\beta^*))^{0.5};$$

R — длина вектора l в прямой решетке:

$$R(l_1, l_2, l_3) = (l_1^2 a^2 + l_2^2 b^2 + l_3^2 c^2 + 2l_1 l_3 a c \cos \beta)^{0.5},$$

 $A,E,H^*,R$  — определяются параметрами прямой и обратной решетки кристалла. Для моноклинного

β-Ga<sub>2</sub>O<sub>3</sub> [12] — a = 12.214 Å; b = 3.037 Å; c = 5.798 Å; α=γ=π/2; β ~ 1.812 rad; a\*=0.084 Å<sup>-1</sup>; b\*=0.329 Å<sup>-1</sup>; c\* = 0.178 Å<sup>-1</sup>; α\* = γ\* = π/2; β\* = π-β.

Найдем матрицу  $C_0$ , связывающую систему скольжения и кристаллофизическую систему координат. Эта матрица выражается через компоненты векторов  $\mathbf{N} = (N_1, N_2, N_3)^T$  и  $\mathbf{L} = (L_1, L_2, L_3)^T$  следующим образом:

$$C_0 = C_0(n_1, n_2, n_3, l_1, l_2, l_3)$$

$$= \begin{pmatrix} N_1 & N_2 & N_3 \\ L_1 & L_2 & L_3 \\ N_2L_3 - N_3L_2 & N_3L_1 - N_1L_3 & N_1L_2 - N_2L_1 \end{pmatrix}.$$

Рассмотрим ленту  $\beta$ —Ga<sub>2</sub>O<sub>3</sub>, выращиваемую в кристаллографическом направлении [010]. Ориентацию ленты, при которой ось х<sub>3</sub> совпадает с направлением выращивания [010], а ось  $x_1$  направлена перпендикулярно плоскости ленты и совпадает с направлением (100), считаем исходной кристаллофизической ориентацией пластины. Строим матрицу перехода из рабочей системы координат в кристаллофизическую систему. В качестве рабочей системы координат выбираем систему координат, полученную из исходной кристаллофизической системы поворотом вокруг оси  $x_1$  на угол  $90^\circ$  против часовой стрелки с последующим поворотом вокруг новой оси  $x_3$  (вокруг направления [010]) на угол  $\psi$  против часовой стрелки. Тогда матрица перехода от рабочей системы координат к исходной кристаллофизической системе примет вид

$$C_{0R}=egin{pmatrix} \cos\psi & 0 & \sin\psi \ \sin\psi & 0 & -\cos\psi \ 0 & 1 & 0 \end{pmatrix}^{-1}.$$

Матрицу перехода от рабочей системы координат к системе координат, связанной со скольжением, можно записать в виде  $C=C_0C_{0R}$ . Тогда касательные напряжения, действующие в выбранной системе скольжения, определяются следующей формулой:

$$\tau_{12} = C_{1\alpha}C_{2\beta}\sigma_{\alpha\beta}, \quad \alpha, \beta = 2, 3,$$

где  $\sigma_{\alpha\beta}$  — тензор термоупругих напряжений, соответствующий плоскому напряженному состоянию. При повороте рабочей системы координат изменяются не только компоненты матрицы  $C_{0R}$ , но и компоненты тензора термоупругих напряжений  $\sigma_{\alpha\beta}$ , вследствие анизотропии тепловых и упругих свойств материала ленты.

# 2. Расчет касательных напряжений в системах скольжения для ленточных кристаллов оксида галлия

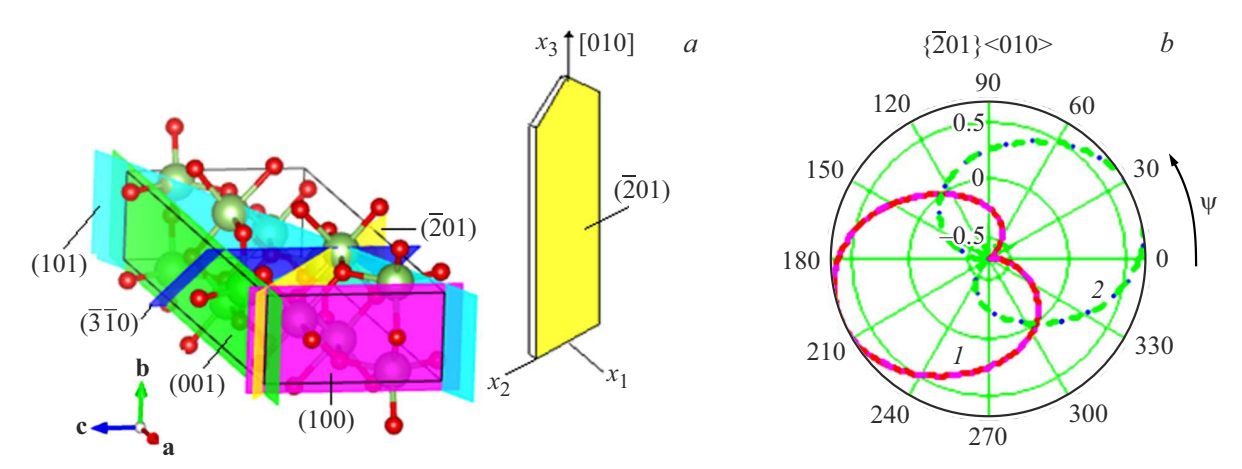
Находим касательные напряжения в тонкой кристаллической пластине  $\beta$  –  $Ga_2O_3$  длиной l, прямоугольного

сечения  $\Omega = [-b, b] \times [-h, h]$  (2b — ширина ленты, 2h — ее толщина). Работаем в декартовой системе координат  $(\bar{x}_1, \bar{x}_2, \bar{x}_3)$ . Размерные величины обозначаем чертой сверху. Ось  $\bar{x_1}$  ортогональна плоскости ленты, оси  $\bar{x}_2$  и  $\bar{x}_3$  лежат в срединной плоскости, причем ось  $\bar{x}_3$  совпадает с направлением роста. Переходим к безразмерным координатам:  $\bar{x}_1 = hx_1$ ,  $\bar{x}_2 = bx_2$ ,  $\bar{x}_3 = lx_3$ . Далее переходим к безразмерным коэффициентам теплопроводности, теплового расширения и упругой податливости с помощью нормировки на соответствующие инварианты. Для расчета термоупругих напряжений в ленте используем приближенные формулы для компонент  $\bar{\sigma}_{33}$ ,  $\bar{\sigma}_{23}$ ,  $\bar{\sigma}_{22}$  тензора термоупругих напряжений, описывающие плоское напряженное состояние в тонкой анизотропной пластине. Эти формулы были получены в [13] методом асимптотического интегрирования уравнений термоупругости в предположении малости параметров  $\delta = h/b$ ,  $\varepsilon = b/l$  и слабого теплообмена на гранях  $x_1 = \pm 1$ . Рассмотрен случай выращивания методом Степанова (EFG) прямоугольной пластины длиной 0.1, шириной 0.02 и толщиной 0.002 m. Направление роста [010], нормаль к плоскости [100]. Для исследования влияния анизотропии свойств оксида галлия на величину и распределение касательных напряжений в системах скольжения был рассмотрен поворот пластины вокруг оси роста на угол  $\psi$  против часовой стрелки. Термоупругие напряжения были взяты в точке с координатами ( $x_2 = 0.5, x_3$ ), находящейся в средней части ленты по длине.

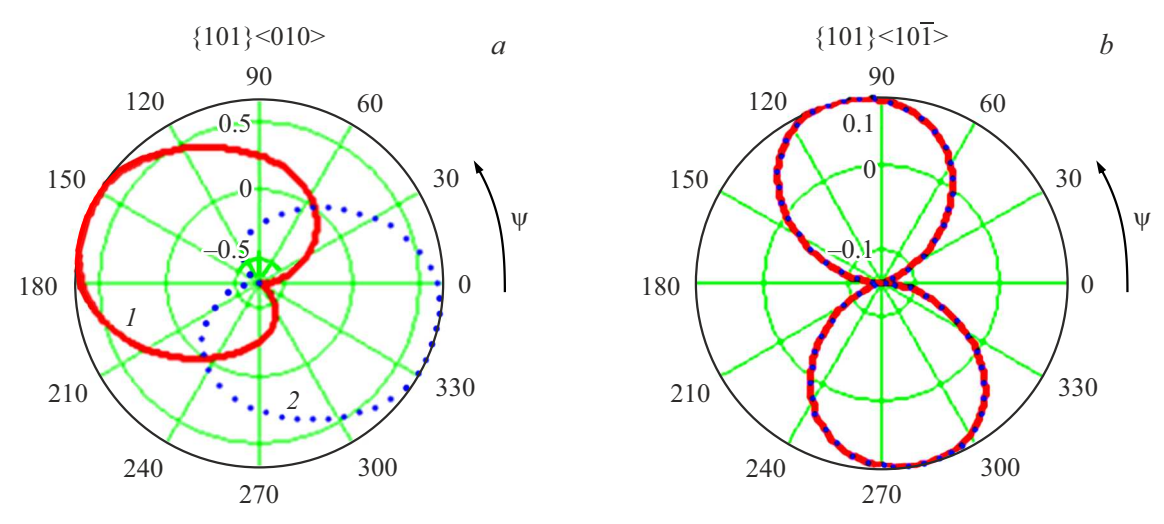
# 3. Результаты расчетов

Были найдены все эквивалентные системы скольжения для основных систем, приведенных в таблице. При этом учитывалось, что данный кристалл относится к классу симметрии 2/m моноклинной сингонии и содержит 2 элемента симметрии: ось симметрии второго порядка и перпендикулярную ей плоскость симметрии m, а воздействие каждого элемента симметрии на произвольное кристаллографическое направление описывается своей матрицей поворота.

Результаты расчетов касательных напряжений для различных систем скольжения при повороте пластины на угол  $\psi$  вокруг направления выращивания [010] приведены на рис. 1–3. На рис. 1, a показана схема кристаллической решетки кристалла  $\beta$ —Ga<sub>2</sub>O<sub>3</sub> с ориентацией направления выращивания [010]. Плоскость ленты на схеме совпадает с плоскостью скольжения ( $\bar{2}$ 10). На схеме показаны другие возможные плоскости скольжения: (101), ( $\bar{3}\bar{1}$ 0), (100) и (001). На рис. 1, b построена зависимость касательных напряжений в системе 1.1 (нумерация систем приведена в таблице) от угла поворота  $\psi$  вокруг направления [010] в полярных координатах для четырех эквивалентных систем. Расчеты показали, что две из четырех систем попарно совпадают и имеют разный знак при изменении угла поворота  $\psi$ . Макси-



**Рис. 1.** a — схема ленты и кристаллической ячейки кристалла  $\beta$  —  $Ga_2O_3$  с ориентацией направления выращивания [010]. Плоскость ленты совпадает с плоскостью скольжения ( $\bar{2}01$ ). На схеме показаны также другие возможные плоскости скольжения: (101), ( $\bar{3}\bar{1}0$ ), (100) и (001); b — зависимость касательных напряжений в системе  $\{\bar{2}01\}$  (010) от угла поворота  $\psi$  вокруг направления [010] в полярных координатах для четырех эквивалентных систем: I — системы скольжения ( $\bar{2}01$ ) [010] и ( $\bar{2}01$ ) [ $0\bar{1}0$ ], 2 — ( $20\bar{1}$ ) [010] и (201) [010].



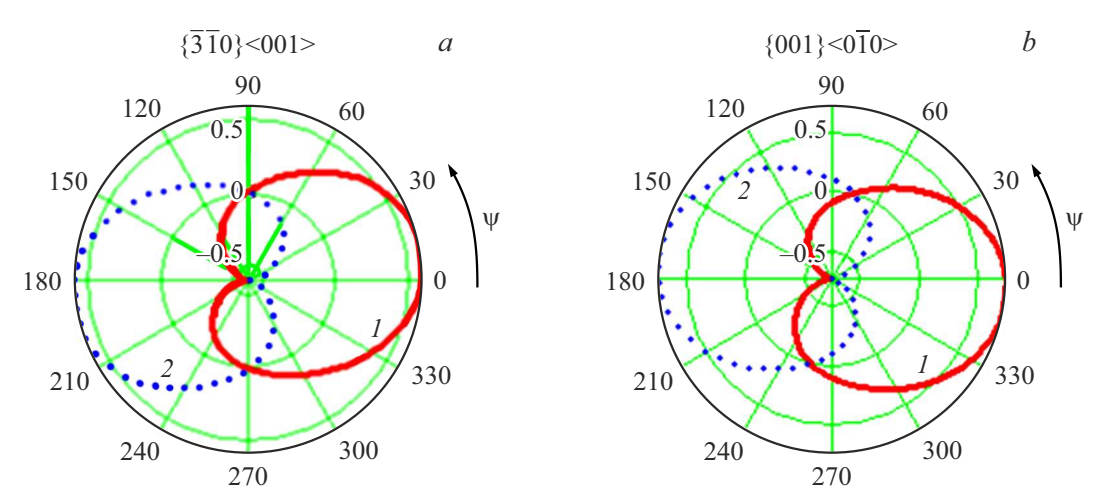
**Рис. 2.** Зависимость касательных напряжений от угла поворота  $\psi$  вокруг направления [010] в полярных координатах в системах:  $a = \{101\}\ \langle 010\rangle\ (I = \text{система скольжения}\ (101)\ [010],\ 2 = (101)\ [010];\ b = \{101\}\ \langle 101\rangle.$ 

мальные значения касательных напряжений (до 0.7 МРа) в этой системе достигаются тогда, когда плоскость ленты совпадает с кристаллографической плоскостью (201), т. е. с рассматриваемой плоскостью скольжения. Расчеты в системе 1.2 также демонстрируют сильную ориентационную зависимость, но уровень касательных напряжений ниже (до 0.26 MPa).

Зависимость касательных напряжений от угла поворота  $\psi$  в системах 2.1 и 2.2 показана на рис. 2. Эти системы отличаются разным количеством эквивалентных систем скольжения (в первой их четыре, во второй — две), кроме того, во второй системе напряжения в семь раз меньше. Видно, что в одной плоскости скольжения характер угловой зависимости и величины касательных напряжений зависят от направления скольжения.

Системы 3 и 4 оказались идентичны. Плоскости {310} и {310} отличаются от других тем, что наклонены относительно направления вытягивания. Несмотря на это полярные графики и максимальные значения напряжений для системы 3.1 (до 0.7 МРа при повороте на 15°) оказались похожи на графики и значения напряжений в системе 1.1 (рис. 3, a). В системах 3.2 и 3.3уровень касательных напряжений значительно ниже (до 0.1 MPa). Из последних трех систем можно выделить систему 5, которая дает максимальный уровень касательных напряжений (до 0.74 МРа) при совпадении плоскости ленты с кристаллографической плоскостью (001) (рис. 3, b). В системах 6 и 7 касательные напряжения малы (0.1 MPa).

Сопоставление результатов расчетов с экспериментальными данными по распределению дефектов в кристаллах требует отдельного рассмотрения. Однако предварительно можно сказать, что рассчитанные напряжения в системах 1.1 и 5 могут приводить к образованию



**Рис. 3.** Зависимость касательных напряжений от угла поворота  $\psi$  вокруг направления [010] в полярных координатах в системах:  $a = \{\bar{3}\bar{1}0\}\ \langle 001 \rangle\ (I = \text{система скольжения: } (\bar{3}\bar{1}0)\ [001],\ 2 = (\bar{3}10)\ [001];\ b = \{001\}\ \langle 0\bar{1}0 \rangle\ (I = (001)\ [0\bar{1}0],\ 2 = (001)\ [010]).$ 

винтовых дислокаций, обнаруженных в лентах оксида галлия в работе [2].

## Заключение

Разработан алгоритм расчета касательных напряжений в системах скольжения для ленточных кристаллов моноклинной сингонии. Изучена зависимость этих напряжений от поворота кристаллографической плоскости ленты вокруг оси выращивания [010] для кристаллов оксида галлия. Проведенные расчеты показывают, что величина и ориентация касательных напряжений в действующих системах скольжения зависят от исходных компонент тензора термоупругих напряжений и от кристаллографической структуры кристалла. В случае, когда в тензоре одна компонента  $\sigma_{33}$ , она проектируется только на плоскости  $\{\bar{3}10\}$  и  $\{\bar{3}\bar{1}0\}$ , а при учете трех компонент тензора напряжений работают все системы скольжения. Максимальная величина касательных напряжений наблюдается при совпадении плоскости ленты с плоскостью скольжения.

### Конфликт интересов

Авторы заявляют, что у них нет конфликта интересов.

### Список литературы

- Z. Chi, J. Asher, M.R. Jennings, E. Chikoidze, A. Pérez-Tomás. Materials, 15 (3), 1164 (2022).
   DOI: 10.3390/ma15031164
- [2] K. Nakai, T. Nagai, K. Noami, T. Futagi. Jpn. J. Appl. Phys., 54 (5), 051103 (2015). DOI: 10.7567/JJAP.54.051103
- [3] H. Yamaguchi, A. Kuramata, T. Masui. Superlattices and Microstructures, 99, 99 (2016).DOI: 10.1016/j.spmi.2016.04.030

- [4] O. Ueda, N. Ikenaga, K. Koshi, K. Iizuka, A. Kuramata, K. Hanada, T. Moribayashi, S. Yamakoshi, M. Kasu. Jpn. J. Appl. Phys., 55 (12), 1202BD (2016). DOI: 10.7567/JJAP.55.1202BD
- [5] Y. Yao, Y. Ishikawa, Y. Sugawara. Jpn. J. Appl. Phys., 59 (12), 125501 (2020). DOI: 10.35848/1347-4065/abc1aa
- [6] Y. Wang, M. Zhu, Y. Liu. China Foundry, Special Rev., 21, 491 (2024). DOI: 10.1007/s41230-024-4131-5
- [7] С.И. Бахолдин, Е.В. Галактионов, В.М. Крымов. Изв. АН, сер. физ., **63** (9), 1816 (1999).
- [8] С.И. Бахолдин, Е.В. Галактионов, В.М. Крымов. ЖТФ, **93** (12), 1708 (2023). DOI: 10.61011/JTF.2023.12.56800.f249-23 [S.I. Bakholdin, E.V. Galaktionov, V.M. Krymov. Tech. Phys., **68** (12), 1584 (2023).]
- [9] В.М. Крымов, Е.В. Галактионов, С.И. Бахолдин. ЖТФ, **94** (12), 1955 (2024). DOI: 10.61011/JTF.2024.12.59232.343-24 [V.M. Krymov, E.V. Galaktionov, S.I. Bakholdin. Tech. Phys., **69** (12), 1809 (2024).]
- [10] Ю.И. Сиротин, М.П. Шаскольская. *Основы кристалло-физики* (Наука, М., 1979), с. 134.
- [11] Б.К. Вайнштейн. Современная кристаллография (Наука, М., 1979), т. 1, с. 221.
- [12] W. Miller, K. Böttcher, Z. Galazka, J. Schreuer. Crystals, 7 (1), 26 (2017). DOI: 10.3390/cryst7010026
- [13] И.Е. Зино, Э.А. Тропп. Асимптотические метолы в задачах теории теплопроводности и термоупругости (Изд-во ЛГУ, Л., 1978)